

Fig. 16-2. Parte superficial del ovario mostrando diferentes grados de desarrollo de los folículos y su localización. H & E. x400.

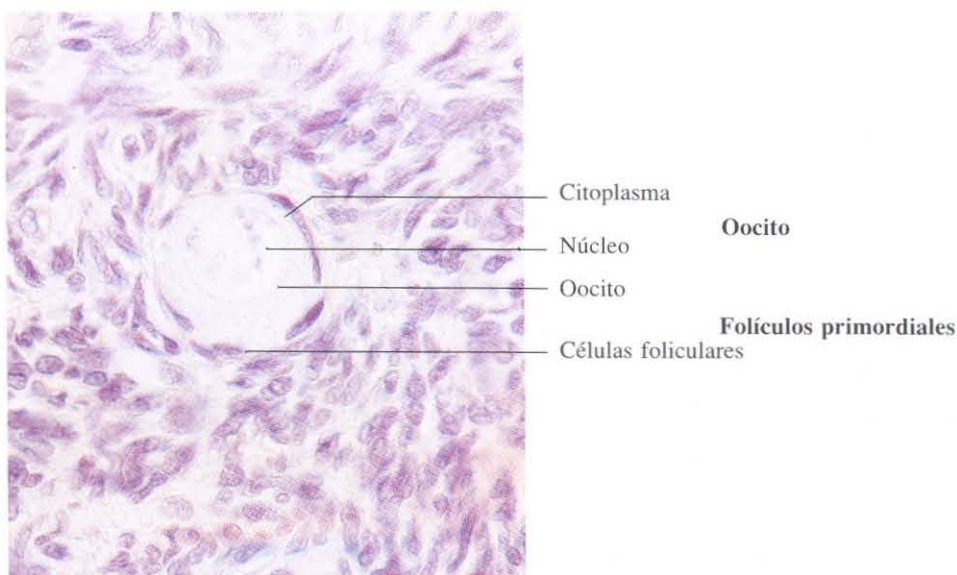


Fig. 16-3. Folículo primordial en la corteza del ovario. El oocito aparece rodeado por una única capa de células foliculares aplanadas. H & E. x680.

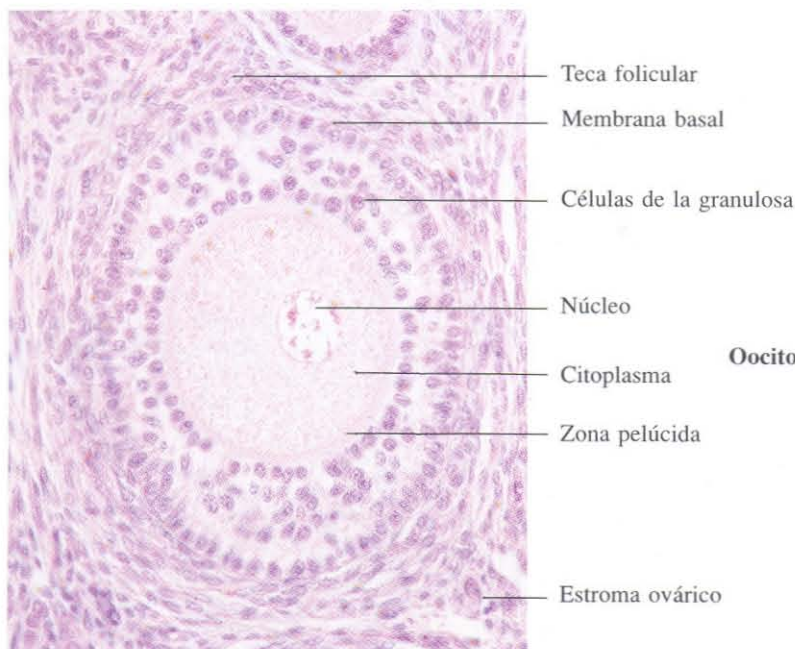


Fig. 16-4. Folículo primario en la corteza del ovario. Hay varias capas de células foliculares formando la granulosa. H & E. x275.



Fig. 16-5. Folículo secundario del ovario. Se ha desarrollado el antro folicular entre las células de la granulosa. H & E. x150.

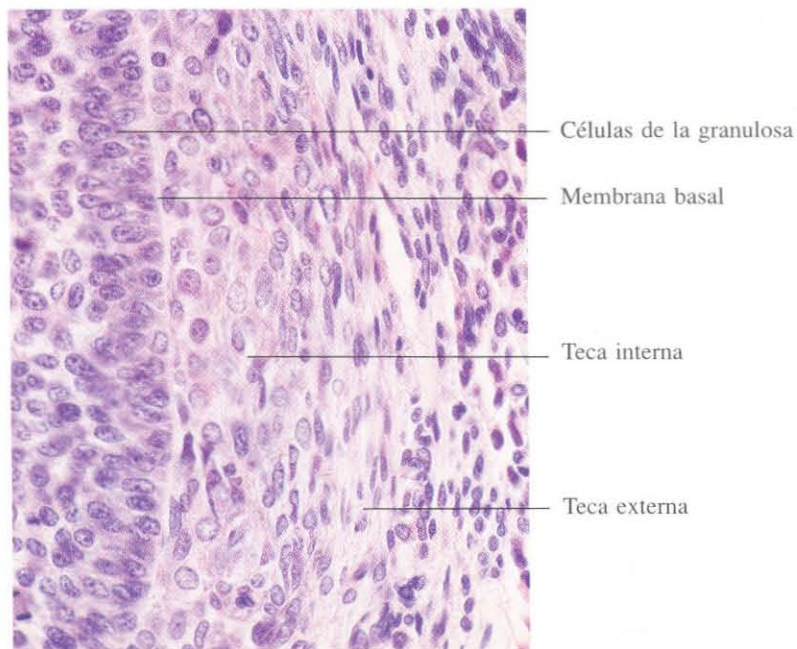


Fig. 16-6. Sección de la pared de un folículo secundario. H & E. x440.

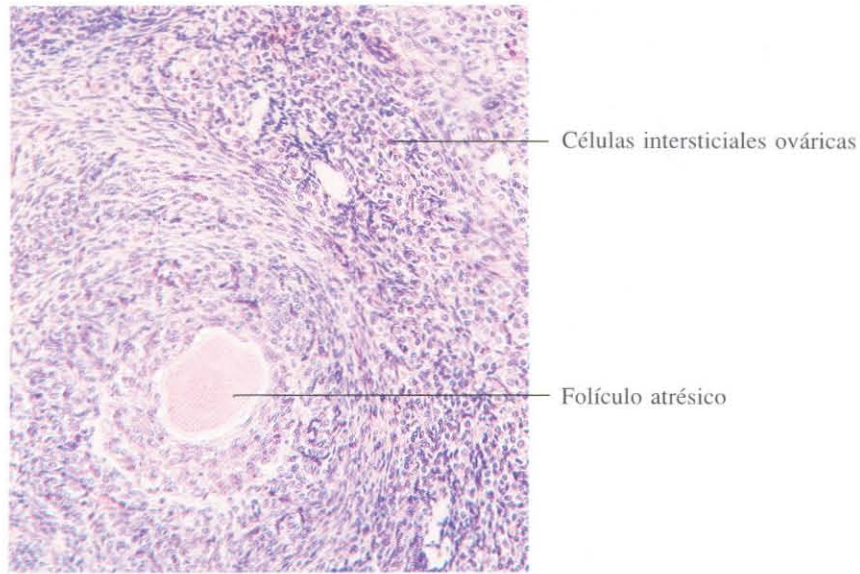


Fig. 16-7. Parte del ovario mostrando un folículo atrésico y células intersticiales en el estroma ovárico. H & E. x135.

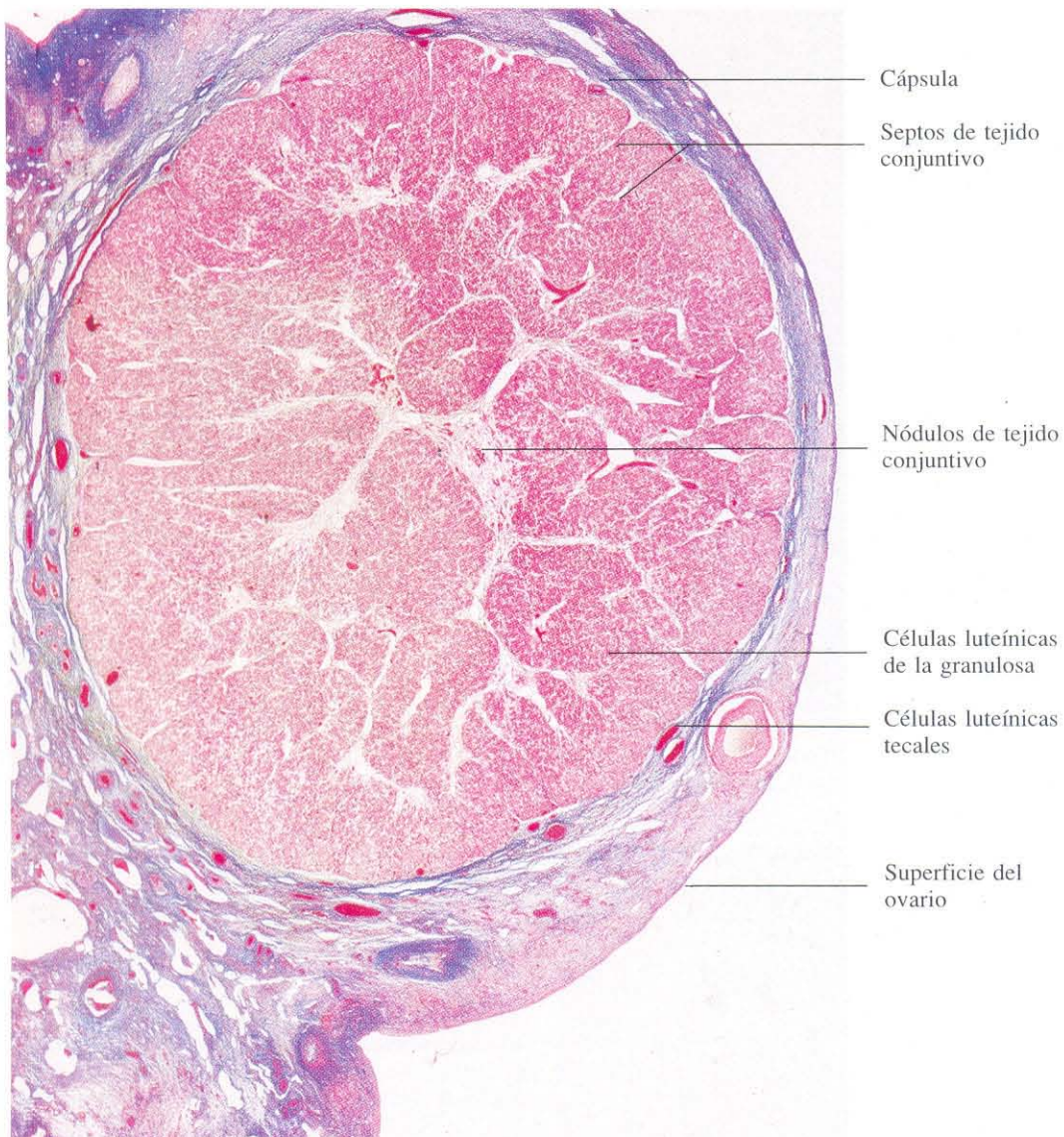


Fig. 16-8. Cuerpo lúteo del ovario localizado inmediatamente debajo de la superficie ovárica. Azán. x13.

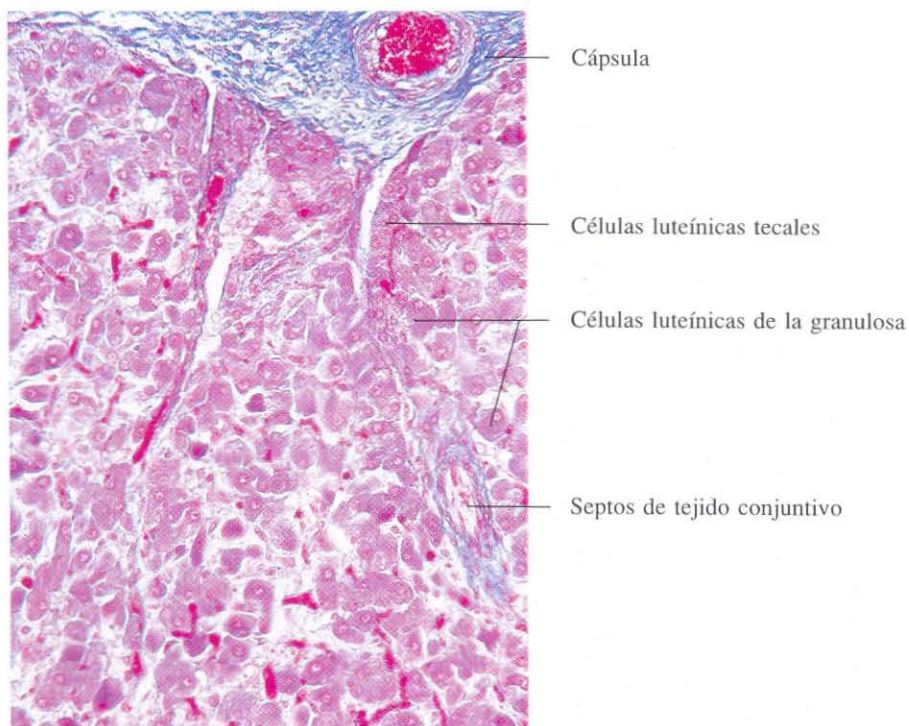


Fig. 16-9. Detalle de la periferia de un **cuerpo lúteo** mostrando los dos tipos de células luteínicas.
H & E. x135.

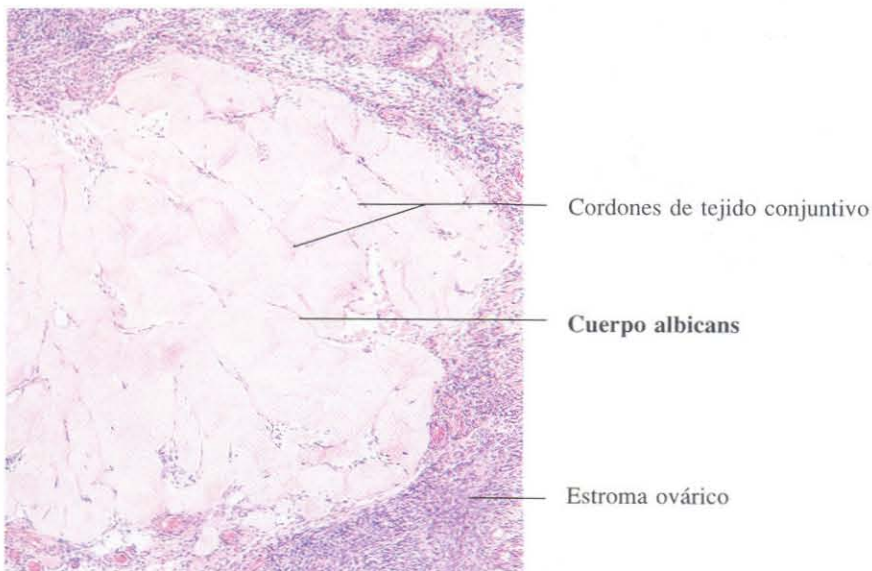


Fig. 16-10. Parte de un **cuerpo albicans**. H & E. x65.



Fig. 16-11. Sección transversal de la trompa uterina o trompa de Fallopio a nivel de la ampolla. La luz ampular ofrece un aspecto de “laberinto”, debido al gran número de repliegues de la mucosa. H & E. x14.

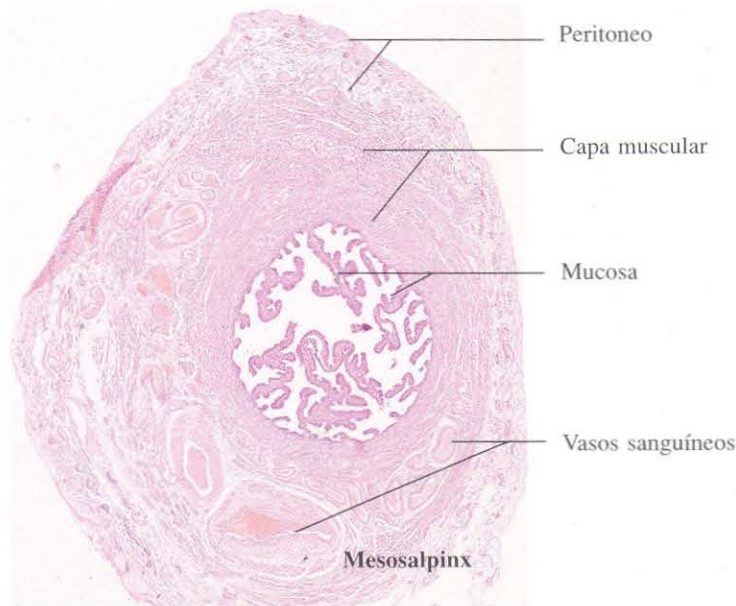


Fig. 16-12. Sección transversal de la **trompa uterina a nivel del istmo**. La luz es mucho menor que a nivel de la ampolla, la mucosa presenta un menor número de pliegues y la capa muscular es más gruesa. H & E. x18.



Fig. 16-13. Vista a mayor aumento de la **mucosa de la trompa de Falopio**. El epitelio es cilíndrico pseudoestratificado con células secretoras. Azán. x440.

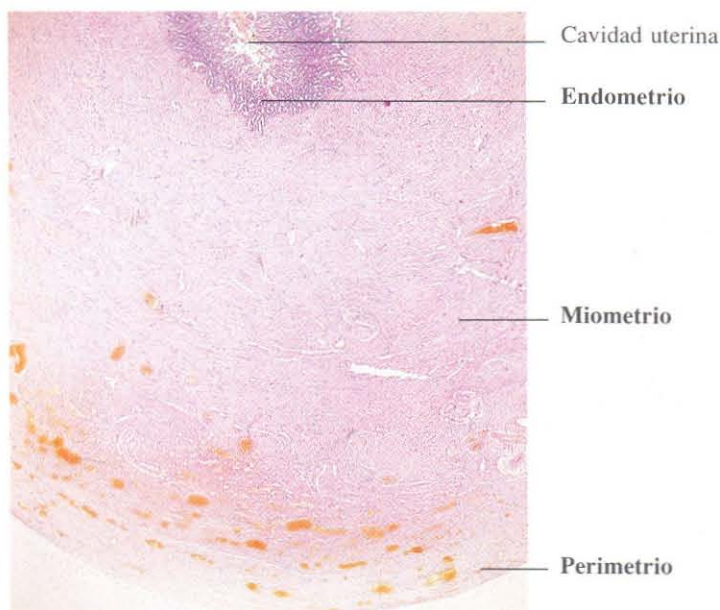


Fig. 16-14. Pared del útero mostrando la neta distinción entre sus tres capas: endometrio, miometrio y perimetrio. H & E. x5.

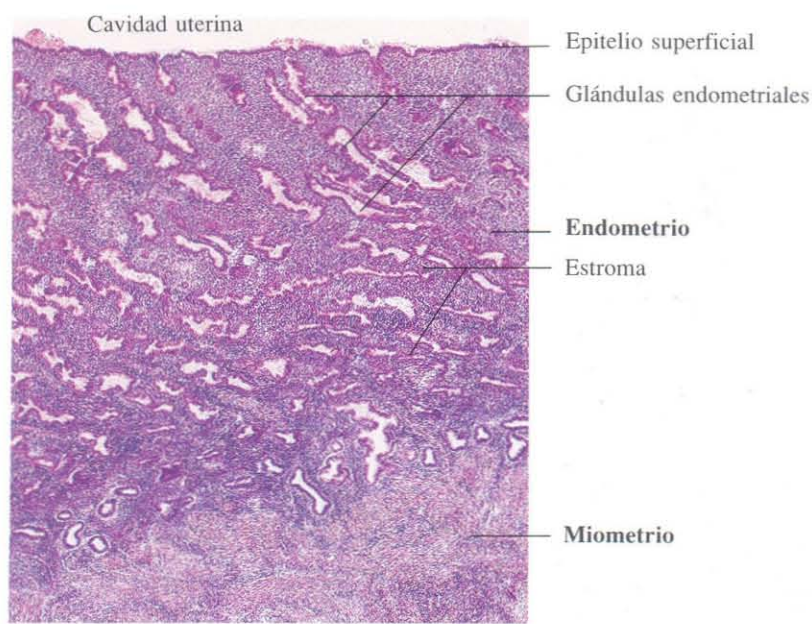


Fig. 16-15. Mucosa endometrial del útero mostrando glándulas endometriales de curso contorneado (fase proliferativa). H & E. x35.

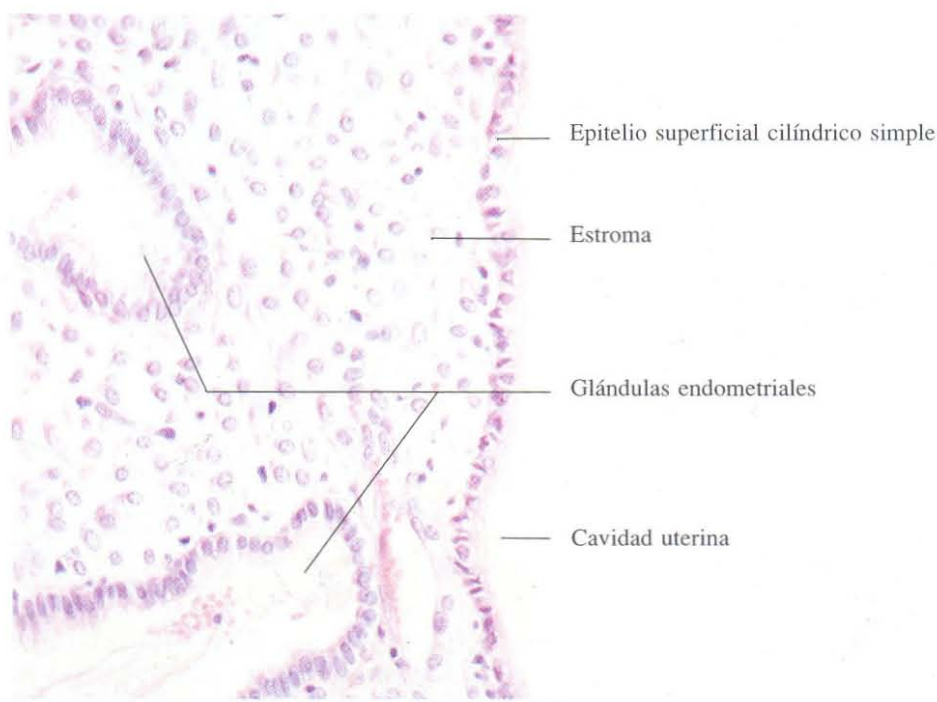


Fig. 16-16. Detalle del **endometrio** mostrando el epitelio de revestimiento superficial y el de las glándulas que, en ambos casos, es cilíndrico simple con algunas células ciliadas. H & E. x275.

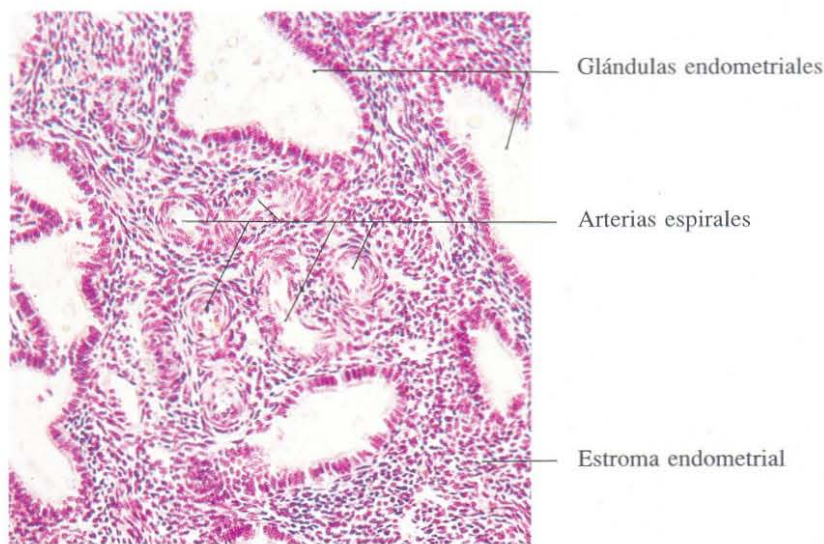


Fig. 16-17. Arterias espirales en el **endometrio**. Estas arterias aparecen como perfiles circulares, que corresponden a una o pocas arterias seccionadas transversalmente muchas veces, debido a su contorno fuertemente espiralizado. H & E. x150.

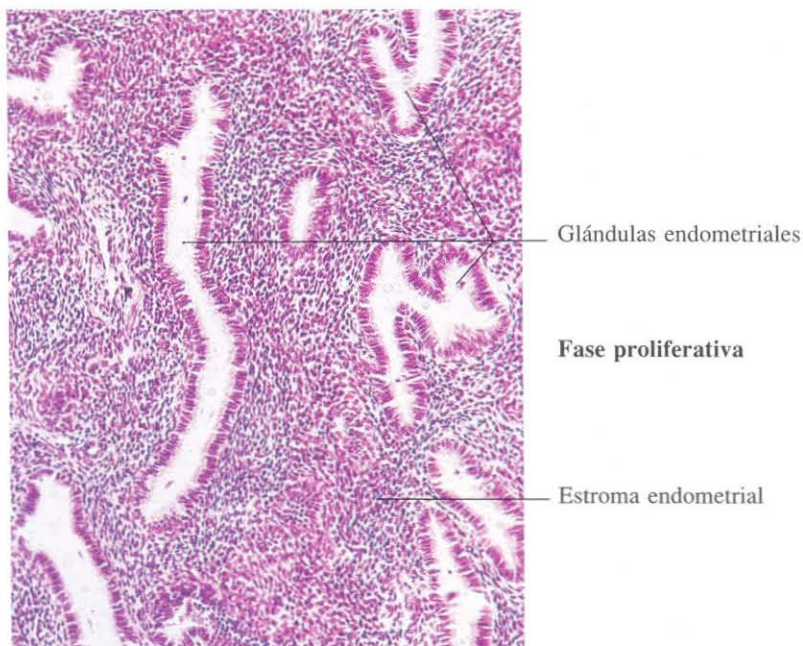


Fig. 16-18. Endometrio en la fase proliferativa del ciclo menstrual mostrando glándulas contorneadas. H & E. x120.

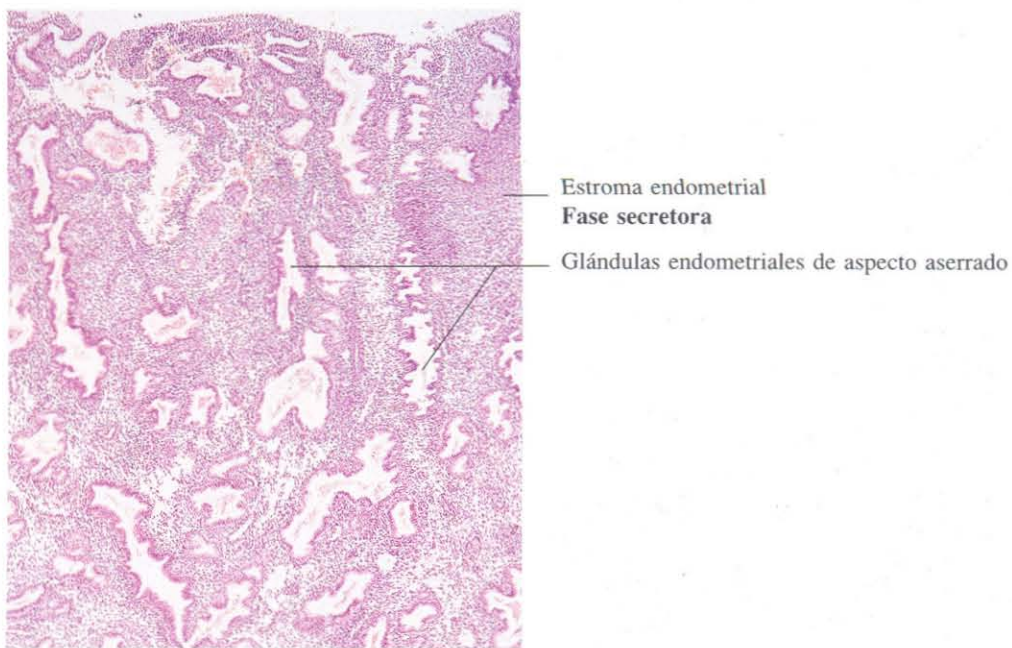
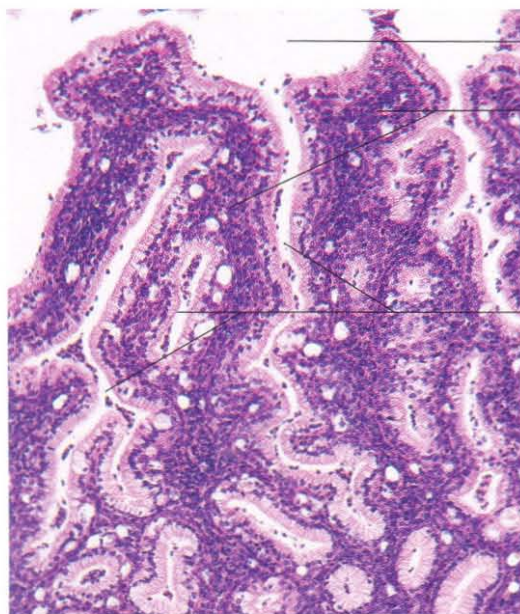


Fig. 16-19. Endometrio en la fase secretora del ciclo menstrual mostrando una mayor espiralización de las glándulas que presentan un aspecto aserrado. La luz glandular, que aparece dilatada, contiene abundante secreción. H & E. x45.

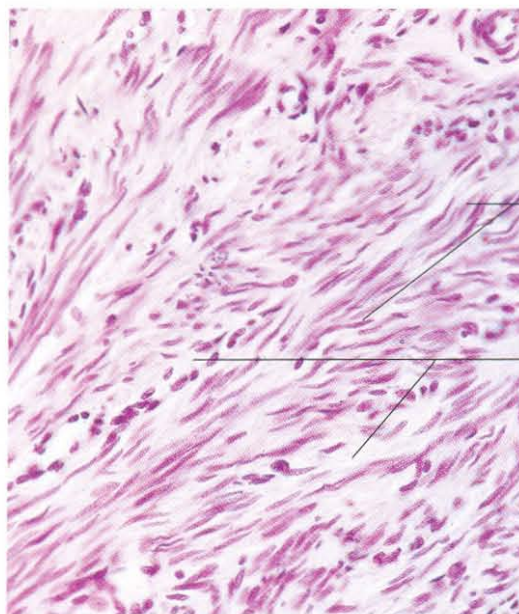


Canal cervical

Pliegues de la mucosa

Repliegues profundos de la mucosa

Fig. 16-20. Mucosa del endocérvido (parte interna del cuello uterino) mostrando pliegues desarrollados (pliega palmatae) aparentando glándulas. El epitelio es secretor de moco como el del estómago. H & E. x110.



Celulares musculares lisas

Miometrio

Tejido conjuntivo

Fig. 16-21. Miometrio del útero en el que se aprecian haces arremolinados de celulares musculares lisas entremezclados con tejido conjuntivo fibroso. H & E. x275.

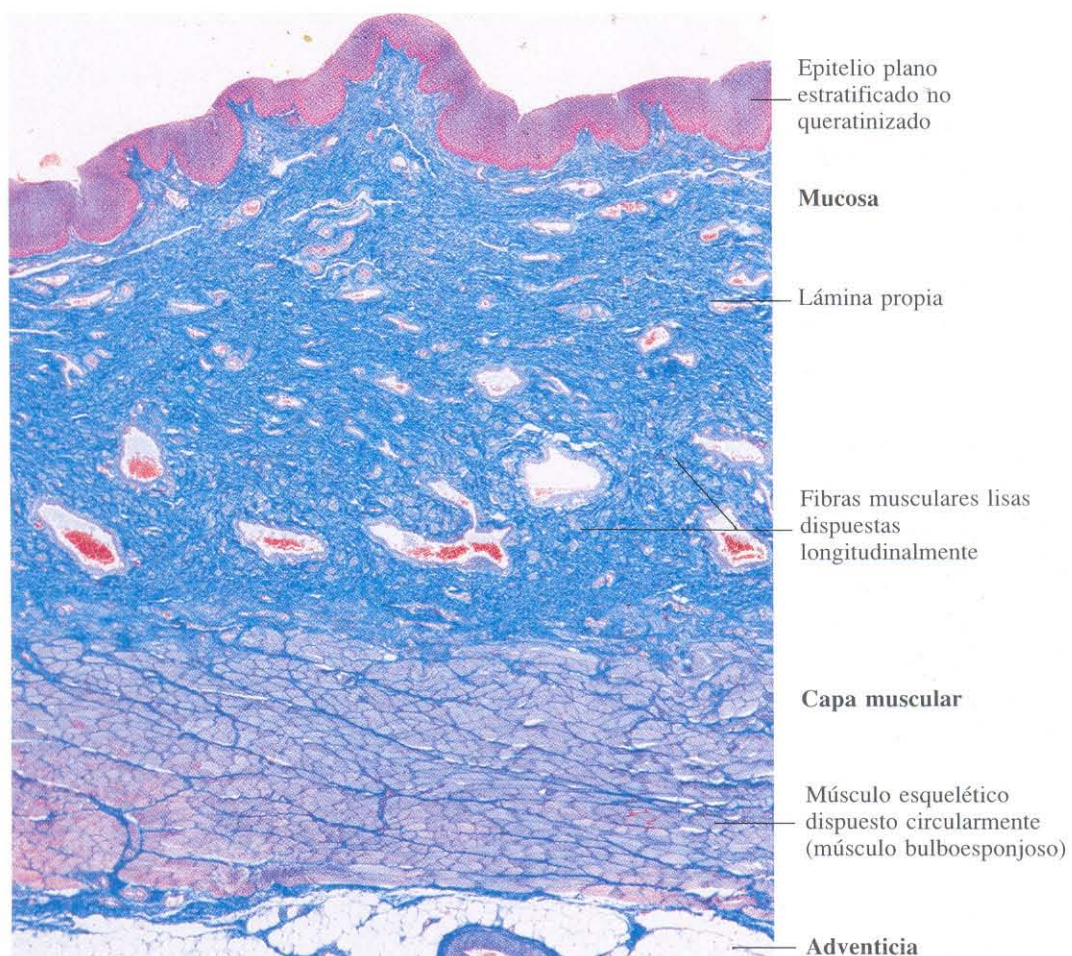
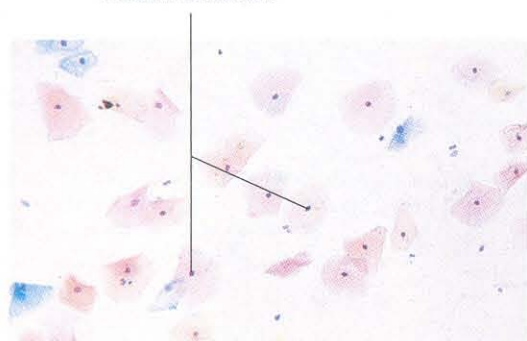


Fig. 16-22. Sección transversal de la pared de la vagina mostrando sus capas. Azán. x27.

Células acidófilas



Grupos de células naviculares

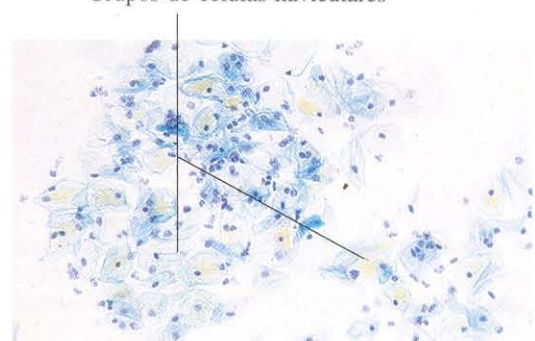


Fig. 16-23. Frotis vaginal hecho durante la fase folícular tardía del ciclo menstrual. Papanicolau. x110.

Fig. 16-24. Frotis vaginal hecho durante la fase luteínica del ciclo menstrual. Papanicolau. x110.

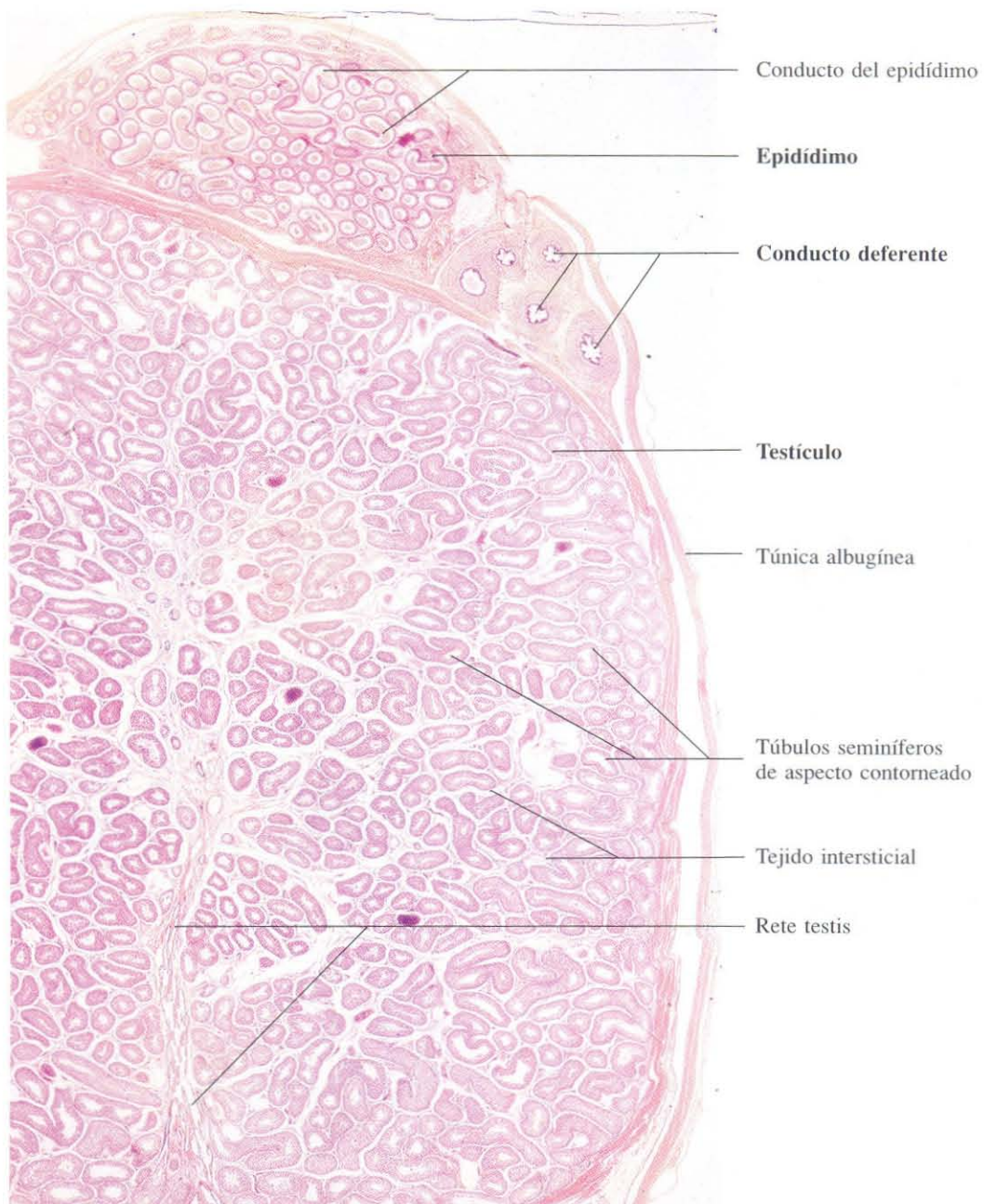


Fig. 16-25. Sección histológica que comprende parte del testículo, de la rete testis, del epidídimo y de la porción inicial del conducto deferente (porción intraepididimaria). H & E. x13.

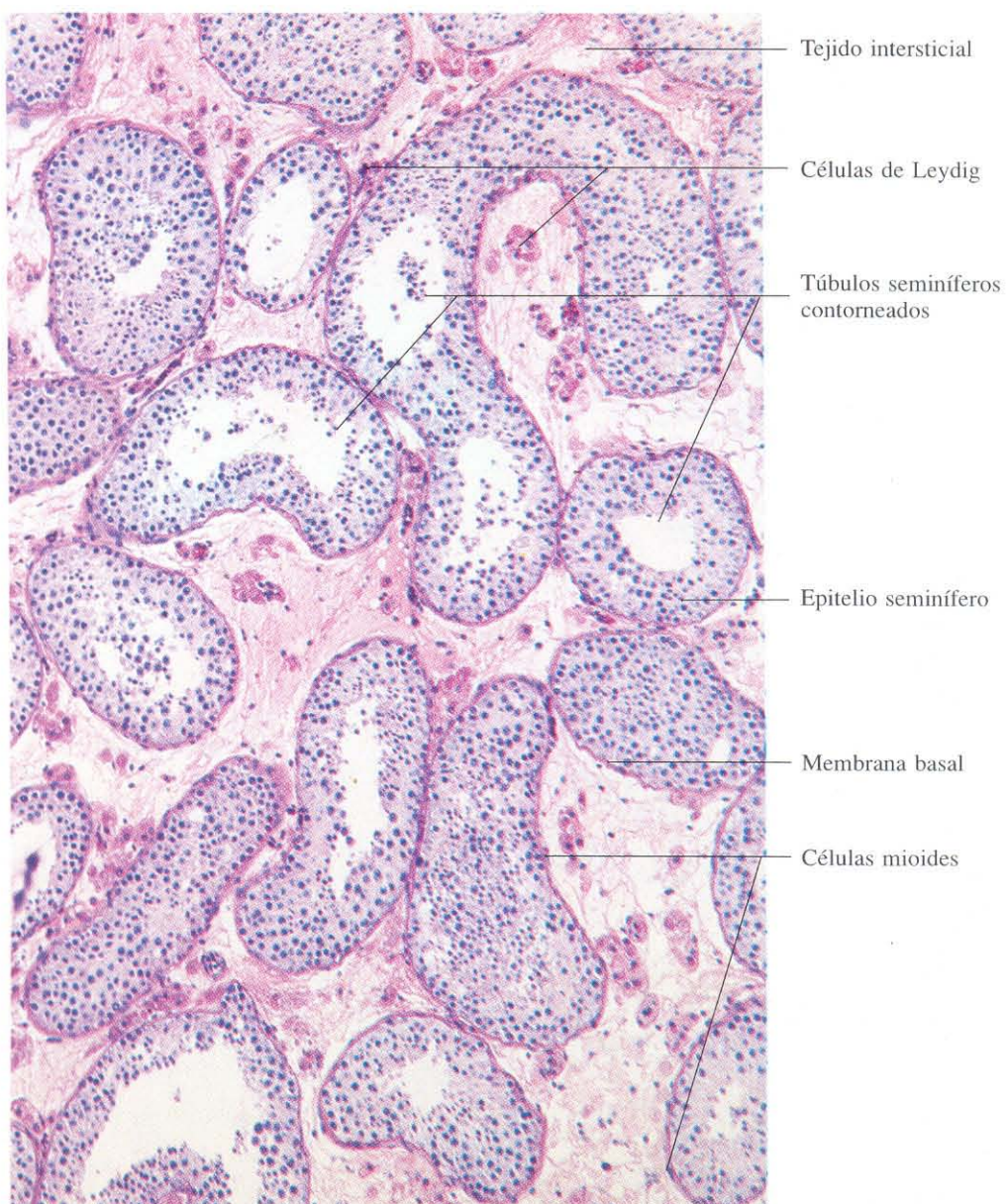


Fig. 16-26. Parénquima testicular mostrando los tubos seminíferos y el intersticio testicular. Este último contiene células de Leydig. H & E. x110.